

# Fórmula de suma para Soergel Calculus en tipo $\tilde{A}_1$ y el álgebra de nil-blob

## Presentación del proyecto de tesis

Marcelo Hernández Caro\*  
Profesor tutor: Steen Ryom-Hansen†

Universidad de Talca  
29/09/2022

---

\* Financiado parcialmente por ANID-PFCHA/Doctorado Nacional/2019-21190827

† Financiado parcialmente por Beca FONDECYT grant 1221112

# Índice

- 1 Soergel calculus para  $\tilde{A}_1$
- 2 Álgebra de blob
- 3 Álgebras celulares
- 4 Filtración de Jantzen
- 5 Proyecto de tesis

# Índice

- 1 Soergel calculus para  $\tilde{A}_1$
- 2 Álgebra de blob
- 3 Álgebras celulares
- 4 Filtración de Jantzen
- 5 Proyecto de tesis

## Definición (Sistema de Coxeter)

Es un par  $(W, S)$ , con  $W$  grupo y  $S \subset W$  tal que

$$W = \left\langle s \in S : s^2 = 1, (s_i s_j)^{m(s_i, s_j)} = 1 \right\rangle$$

Elias y Williamson asociaron una categoría de diagramas  $\tilde{D}_{(W, S)}$  a cada sistema de Coxeter  $(W, S)$ .

## Definición (Sistema de Coxeter)

Es un par  $(W, S)$ , con  $W$  grupo y  $S \subset W$  tal que

$$W = \left\langle s \in S : s^2 = 1, (s_i s_j)^{m(s_i, s_j)} = 1 \right\rangle$$

Elias y Williamson asociaron una categoría de diagramas  $\tilde{D}_{(W, S)}$  a cada sistema de Coxeter  $(W, S)$ .

Para nuestro trabajo sobre Soergel Calculus, fijaremos  $S := \{s, t\}$  y consideraremos en adelante

$$W := \langle s, t \mid s^2 = t^2 = 1 \rangle.$$

Para construir  $\tilde{D}_{(W,S)}$ , se necesita precisar una realización  $\mathfrak{h}$  de  $W$ . En nuestro caso,  $\mathfrak{h}$  estará dada por el  $\mathbb{C}$ -espacio vectorial con base  $\{\alpha_s, \alpha_t\}$ , donde tenemos

$$R := S(\mathfrak{h}) = \mathbb{C}[\alpha_s, \alpha_t]$$

junto con la acción de  $W$  sobre la base dada por

$$\begin{aligned} s(\alpha_s) &= -\alpha_s & s(\alpha_t) &= 2\alpha_s + \alpha_t \\ t(\alpha_t) &= -\alpha_t & t(\alpha_s) &= \alpha_s + 2\alpha_t \end{aligned}$$

Y por último, tenemos los operadores de Demazure definidos por

$$\partial_s(f) = \frac{f - s(f)}{\alpha_s} \quad \partial_t(f) = \frac{f - t(f)}{\alpha_t}$$

de donde se tienen las igualdades

$$\partial_s(\alpha_s) = \partial_t(\alpha_t) = 2 \quad \partial_s(\alpha_t) = \partial_t(\alpha_s) = -2$$

## Definición (Diagrama de Soergel para $(W, S)$ )

Un diagrama de Soergel para  $(W, S)$  es un grafo finito incrustado en  $\mathbb{R} \times [0, 1]$ . Los arcos son de color rojo o azul. Los vértices pueden ser de tipo univalente (dots) o trivalentes, como se muestra a continuación:



Además, el grafo acepta decoraciones por elementos de  $R$ .

Sea  $\mathbf{exp}$  el conjunto de expresiones sobre  $S$ . Los arcos de un diagrama de Soergel podrán intersectar los bordes de la banda  $\mathbb{R} \times [0, 1]$ . Dichas marcas identificarán elementos de  $\mathbf{exp}$ , y les llamaremos marca superior y marca inferior dependiendo del borde donde estén ubicadas.

## Definición (Diagrama de Soergel para $(W, S)$ )

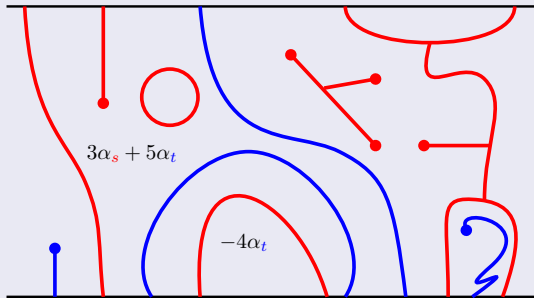
Un diagrama de Soergel para  $(W, S)$  es un grafo finito incrustado en  $\mathbb{R} \times [0, 1]$ . Los arcos son de color rojo o azul. Los vértices pueden ser de tipo univalente (dots) o trivalentes, como se muestra a continuación:



Además, el grafo acepta decoraciones por elementos de  $R$ .

Sea  $\mathbf{exp}$  el conjunto de expresiones sobre  $S$ . Los arcos de un diagrama de Soergel podrán intersectar los bordes de la banda  $\mathbb{R} \times [0, 1]$ . Dichas marcas identificarán elementos de  $\mathbf{exp}$ , y les llamaremos marca superior y marca inferior dependiendo del borde donde estén ubicadas.

## Ejemplo



Se puede apreciar que la marca superior en este diagrama es  $sstss$  y la marca inferior es  $tstssttsts$ .

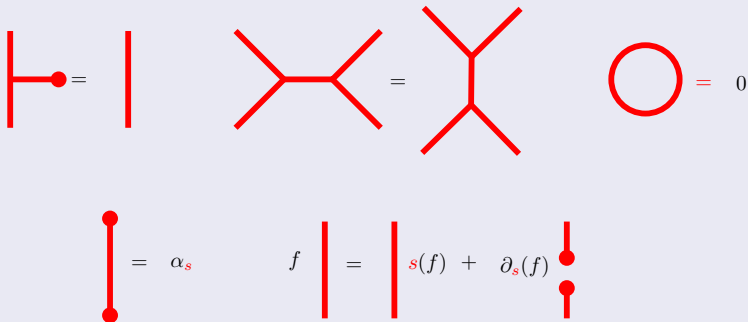
## Definición (Categoría de diagramas $\tilde{D}_{(W,S)}$ )

$$\tilde{D}_{(W,S)} = \left\{ \begin{array}{ll} \text{Objetos:} & \text{Elementos de } \mathbf{exp}. \\ & R - \text{combinaciones lineales de} \\ & \text{diagramas con marca} \\ & \text{inferior } \underline{x} \text{ y marca} \\ & \text{superior } \underline{y}. \end{array} \right.$$

- Composición de morfismos dada por concatenación vertical.

## Definición (Categoría de diagramas $\tilde{D}_{(W,S)}$ )

*Relaciones locales:*



$$\begin{array}{l}
 \text{Diagram 1: } \text{---} \perp \text{---} \bullet = \text{---} \\
 \text{Diagram 2: } \text{---} \diagdown \text{---} \diagup = \text{---} \text{---} \text{---} \\
 \text{Diagram 3: } \bigcirc = 0 \\
 \text{Diagram 4: } \text{---} \bullet \text{---} \bullet = \alpha_s \\
 \text{Diagram 5: } \text{---} \bullet = \text{---} s(f) + \text{---} \bullet \text{---} \bullet \text{---} \bullet \text{---} \partial_s(f)
 \end{array}$$

*Las relaciones locales también existen para el color azul.*

Sea  $n$  un entero no negativo fijo y sea  $\underline{w} = sts \cdots \in \mathbf{exp}$  de largo  $n$ . Se define la  $R$ -álgebra

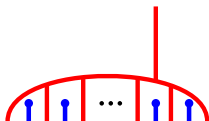
$$\tilde{A}_w = \text{End}_{\tilde{D}_{(w,s)}}(\underline{w}).$$

Esta  $R$ -álgebra posee una  $R$ -base, cuyos elementos se denominan *hojas ligeras dobles*, o simplemente *hojas dobles*. Para su construcción necesitamos definiciones previas.

**Jaula completa no-colgante:**



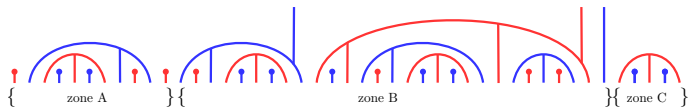
**Jaula completa colgante:**



**Jaula de jaulas:**

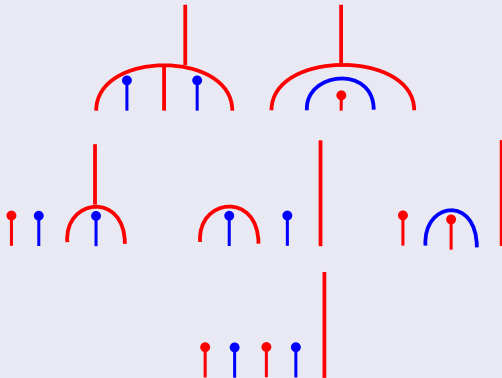


## Hoja ligera:



## Ejemplo

Las hojas ligeras de  $\tilde{A}_{ststs}$  que definen  $v = s$  son las siguientes:

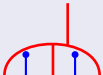


## Definición (Hoja doble)

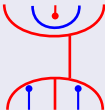
Una hoja doble de  $\tilde{A}_w$  es un concatenación vertical del tipo  $C_{D_1, D_2}^v := D_1 \cdot \text{flip}(D_2)$ , donde  $D_1$  y  $D_2$  son hojas ligeras que definen  $v$ , y  $\text{flip}$  indica reflexión según eje horizontal.

## Ejemplo

Si

$$D_1 = \text{Diagram 1} \quad \text{y} \quad D_2 = \text{Diagram 2}$$



entonces

$$C_{D_1, D_2}^s = \text{Diagram 3}$$


## Teorema

*El conjunto de todas las hojas dobles de  $\tilde{A}_w$ , es decir, el conjunto de todas las concatenaciones  $C_{D_1, D_2}^v$ , para todo  $v \leq w$ , forma una base para  $\tilde{A}_w$ .*

# Índice

- 1 Soergel calculus para  $\tilde{A}_1$
- 2 Álgebra de blob
- 3 Álgebras celulares
- 4 Filtración de Jantzen
- 5 Proyecto de tesis

Para esta sección consideraremos  $R := \mathbb{C}[x, y]$ .

### Definición (Álgebra de Temperley-Lieb $\mathbb{T}\mathbb{L}_n$ )

El álgebra de Temperley-Lieb  $\mathbb{T}\mathbb{L}_n$  con parámetro de loop  $-2$  es la  $R$ -álgebra sobre los generadores  $U_1, \dots, U_{n-1}$  sujeta a las relaciones:

$$\begin{aligned}U_i^2 &= -2U_i, & \text{si } 1 \leq i < n \\U_i U_j U_i &= U_i, & \text{si } |i - j| = 1 \text{ e } i, j > 0 \\U_i U_j &= U_j U_i, & \text{si } |i - j| > 1\end{aligned}$$

## Definición (Álgebra de blob $\mathbb{B}_n^{x,y}$ )

El álgebra de blob  $\mathbb{B}_n^{x,y}$  con parámetro de loop  $-2$ , parámetro de blob  $x$ , y parámetro de loop decorado  $y$  es la  $R$ -álgebra sobre los generadores  $U_0, \dots, U_{n-1}$  sujeta a las relaciones:

$$\begin{aligned}U_i^2 &= -2U_i, & \text{si } 1 \leq i < n \\U_i U_j U_i &= U_i, & \text{si } |i - j| = 1 \text{ e } i, j > 0 \\U_i U_j &= U_j U_i, & \text{si } |i - j| > 1 \\U_1 U_0 U_1 &= y U_1, \\U_0^2 &= x U_0\end{aligned}$$

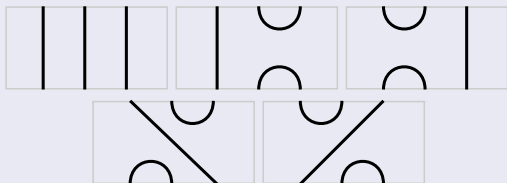
Tanto  $\mathbb{T}\mathbb{L}_n$  como  $\mathbb{B}_n^{x,y}$  son álgebras de diagramas.

### Definición (Base de diagramas para $\mathbb{T}\mathbb{L}_n$ )

*La base de diagramas para  $\mathbb{T}\mathbb{L}_n$  consiste en diagramas de Temperley-Lieb de  $n$  puntos, los cuales son emparejamientos mediante trazos entre los  $n$  puntos de la frontera norte con los  $n$  puntos de la frontera sur de un rectángulo. Pueden existir uniones entre dos puntos de la frontera norte, o dos de la frontera sur. No existen cruces de trazos.*

## Ejemplo

La base de diagramas para  $\mathbb{T}\mathbb{L}_3$  es el siguiente conjunto de diagramas de Temperley-Lieb:

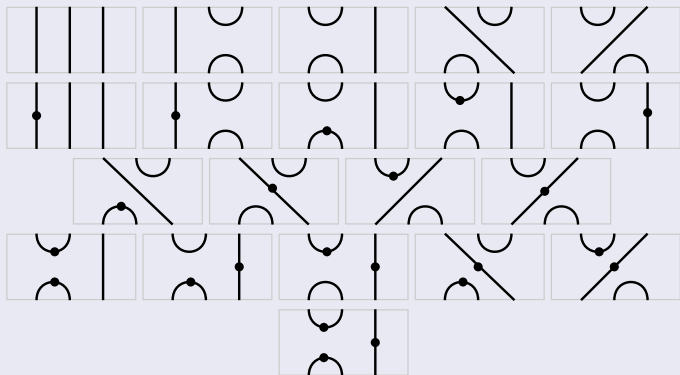


## Definición (Base de diagramas para $\mathbb{B}_n^{x,y}$ )

*La base de diagramas para  $\mathbb{B}_n^{x,y}$  consiste en diagramas de blob, los cuales son diagramas de Temperley-Lieb de  $n$  puntos que pueden estar decorados por blobs en los emparejamientos que están expuestos al lado izquierdo del rectángulo del diagrama, a lo sumo, una vez. El producto  $D_1 D_2$  está dado por concatenación vertical, con  $D_2$  sobre  $D_1$ . En caso de aparecer un loop decorado, este se reemplaza por  $y$ . En caso de aparecer un trazo decorado  $r > 1$  veces, este se reemplaza por el trazo decorado una sola vez, y el diagrama se acompaña del coeficiente  $x^{r-1}$ .*

## Ejemplo

La base de diagramas para  $\mathbb{B}_3^{x,y}$  es el siguiente conjunto de diagramas:



# Índice

- 1 Soergel calculus para  $\tilde{A}_1$
- 2 Álgebra de blob
- 3 Álgebras celulares
- 4 Filtración de Jantzen
- 5 Proyecto de tesis

## Definición (Álgebra celular)

Sea  $A$  una  $\mathbb{k}$ -álgebra de rango finito, con  $\mathbb{k}$  un anillo conmutativo con 1. Una estructura de base celular para  $A$  consiste en una tripleta  $(\Lambda, \text{Tab}, C)$ , donde  $\Lambda$  es un conjunto parcialmente ordenado,  $\text{Tab}$  es una función sobre  $\Lambda$  tal que  $\text{Tab}(\lambda)$  es un conjunto finito para cada  $\lambda \in \Lambda$ , y  $C : \coprod_{\lambda \in \Lambda} \text{Tab}(\lambda) \times \text{Tab}(\lambda) \rightarrow A$  es una función inyectiva tal que:

- 1 El conjunto

$$\{C_{s,t}^\lambda \mid s, t \in \text{Tab}(\lambda), \lambda \in \Lambda\}$$

es una  $\mathbb{k}$ -base para  $A$ , la cual se llamará base celular para  $A$ .

- 2 La regla  $(C_{s,t}^\lambda)^* := C_{t,s}^\lambda$  define un anti-automorfismo de álgebras.

## Definición (Álgebra celular)

3 Para cada  $a \in A$  se tiene que

$$aC_{s,t}^\lambda = \sum_{u \in \text{Tab}(\lambda)} r_{usa} C_{u,t}^\lambda + \text{términos menores}$$

donde  $r_{usa} \in \mathbb{k}$  y donde términos menores corresponde a una  $\mathbb{k}$ -combinación lineal de  $C_{p,q}^\mu$ , con  $\mu < \lambda$ .

Si se cumple todo lo anterior, diremos que  $A$  es una  $\mathbb{k}$ -álgebra celular.

## Teorema

$TL_n$ ,  $\mathbb{B}_n^{x,y}$  y  $\tilde{A}_w$  son álgebras celulares.

¡Pero hay otra álgebra celular importante para nuestro trabajo!

## Teorema

$TL_n$ ,  $B_n^{x,y}$  y  $\tilde{A}_w$  son álgebras celulares.

¡Pero hay otra álgebra celular importante para nuestro trabajo!

Sea  $A_w$  el conjunto generado por todas las hojas dobles de  $\tilde{A}_w$  con sector  $C$  vacío. Entonces  $A_w$  es una  $R$ -álgebra celular considerando la siguiente estructura:

- 1  $\mathbb{k} = R = \mathbb{C}[\alpha_s, \alpha_t]$ .
- 2  $\Lambda = \Lambda_w := \{v \in W \mid v = s_{i_k} s_{i_{k+1}} \cdots s_{i_n} \text{ para } k = 1, \dots, n\}$ ,  
asumiendo que  $\underline{w} = s_{i_1} \cdots s_{i_n}$ .
- 3  $Tab_w(v) = \{ \text{hojas ligeras de } \tilde{A}_w \text{ que definen } v \}$ .
- 4  $C_{s,t}^v$  definido como el diagrama producto  $s \cdot \text{flip}(t)$ .

## Definición (Módulo celular)

Sea  $A$  una  $\mathbb{k}$ -álgebra celular con estructura celular  $(\Lambda, \text{Tab}, C)$ . Para cada  $\lambda \in \Lambda$  se define el módulo celular  $\Delta(\lambda)$  como el  $\mathbb{k}$ -módulo con base  $\{C_s^\lambda \mid s \in \text{Tab}(\lambda)\}$ , donde la acción de  $A$  en  $\Delta(\lambda)$  está dada por

$$aC_s^\lambda = \sum_{u \in \text{Tab}(\lambda)} r_{usa} C_u^\lambda$$

donde  $r_{usa} \in \mathbb{k}$  son los mismos escalares entregados en la definición de celularidad para  $A$ .

Esta definición viene acompañada del siguiente resultado.

## Proposición

Existe una única forma bilineal  $\langle \cdot, \cdot \rangle : \Delta(\lambda) \times \Delta(\lambda) \rightarrow R$  dada para cualquier par  $s, t \in \text{Tab}(\lambda)$  por la igualdad

$$C_{a,s}^\lambda C_{t,b}^\lambda = \left\langle C_s^\lambda, C_t^\lambda \right\rangle_\lambda C_{a,b}^\lambda$$

donde  $a, b \in \text{Tab}(\lambda)$

Como se puede apreciar, la base de  $\Delta(\lambda)$  se puede identificar directamente con los elementos de  $\text{Tab}(\lambda)$ , por lo que podemos considerar a  $\text{Tab}(\lambda)$  como la base de  $\Delta(\lambda)$ , lo que ayuda a su vez a calcular valores de la forma bilineal respectiva.

# Índice

- 1 Soergel calculus para  $\tilde{A}_1$
- 2 Álgebra de blob
- 3 Álgebras celulares
- 4 Filtración de Jantzen**
- 5 Proyecto de tesis

## Definición (Filtración de Jantzen)

Sea  $R$  un dominio de ideales principales y  $p \in R$  primo. Sea  $v_p$  la valuación  $p$ -ádica. Sea  $M$  un  $R$ -módulo libre de rango finito  $r$  con una forma bilineal simétrica no-degenerada  $(\cdot, \cdot)$ .

Sea  $\overline{M} = M/pM$  y  $\overline{R} = R/pR$ . Para cada  $i \in \mathbb{N} \cup \{0\}$  se define

$$M(i) = \{m \in M \mid (m, M) \subset p^i R\}$$

Ahora, para cada  $i \in \mathbb{Z} \cup \{0\}$  consideramos como  $\overline{M(i)}$  a la imagen de  $M(i)$  bajo la reducción módulo  $p$ . Entonces estos  $\overline{R}$ -subespacios forman una filtración

$$\overline{M} = \overline{M(0)} \supseteq \overline{M(1)} \supseteq \overline{M(2)} \supseteq \dots$$

llamada filtración de Jantzen.

Bajo esta definición, hay un resultado que permite relacionar la matriz  $M_{(\cdot, \cdot)}$  con información sobre los módulos de la filtración.

### Teorema (Fórmula de suma)

*Bajo las hipótesis de antes, sea  $D = \det(M_{(\cdot, \cdot)})$  respecto a una base de  $M$ . Entonces*

$$v_p(D) = \sum_{i>0} \dim_{\overline{R}} \overline{M(i)}.$$

¿Cómo obtenemos información sobre los módulos  $\overline{M(i)}$  a partir de la matriz  $M_{(\cdot, \cdot)}$ ? Veamos el siguiente ejemplo.

## Ejemplo

Sea  $M$  un  $\mathbb{Z}$ -módulo con base  $B = \{e_1, e_2, e_3\}$  y con forma bilineal simétrica no-degenerada asociada  $(\cdot, \cdot)$ , cuya matriz está dada por

$$M_{(\cdot, \cdot)} = \begin{bmatrix} 5 & -2 & 7 \\ -2 & 0 & -2 \\ 7 & -2 & 1 \end{bmatrix}$$

Tenemos que su forma de Smith está dada por la matriz diagonal

$$M_d = \begin{bmatrix} 1 & 0 & 0 \\ 0 & 4 & 0 \\ 0 & 0 & 8 \end{bmatrix}$$

de donde  $D = \det(M_d) = 32$ . Fijemos  $p = 2$ . Entonces  $v_p(D) = 5$ . Mirando  $M_d$  y por definición de los  $M(i)$  obtenemos lo siguiente:

$$\begin{aligned}M(0) &= M \\M(1) &= \{m \in M \mid (m, M) \subset 2\mathbb{Z}\} \\&= \text{Span}_{\mathbb{Z}}\langle 2b_1, b_2, b_3 \rangle \\M(2) &= \{m \in M \mid (m, M) \subset 4\mathbb{Z}\} \\&= \text{Span}_{\mathbb{Z}}\langle 4b_1, b_2, b_3 \rangle \\M(3) &= \{m \in M \mid (m, M) \subset 8\mathbb{Z}\} \\&= \text{Span}_{\mathbb{Z}}\langle 8b_1, 2b_2, b_3 \rangle \\M(k) &= \{m \in M \mid (m, M) \subset 2^k\mathbb{Z}\} \\&= \text{Span}_{\mathbb{Z}}\langle 2^k b_1, 2^{k-2} b_2, 2^{k-3} b_3 \rangle \text{ para } k > 3\end{aligned}$$

Y al aplicar la reducción módulo  $p = 2$  obtenemos los módulos de la filtración de Jantzen:

$$\begin{aligned}\overline{M(0)} &= \overline{M} \\ \overline{M(1)} &= \text{Span}_{\mathbb{F}_2} \langle \overline{b_2}, \overline{b_3} \rangle \\ \overline{M(2)} &= \text{Span}_{\mathbb{F}_2} \langle \overline{b_2}, \overline{b_3} \rangle \\ \overline{M(3)} &= \text{Span}_{\mathbb{F}_2} \langle \overline{b_3} \rangle \\ \overline{M(k)} &= \overline{0} \text{ para } k > 3\end{aligned}$$

de donde podemos verificar la fórmula de sumas:

$$\sum_{i>0} \dim_{\overline{\mathbb{R}}} \overline{M(i)} = 2 + 2 + 1 = v_p(D).$$

# Índice

- 1 Soergel calculus para  $\tilde{A}_1$
- 2 Álgebra de blob
- 3 Álgebras celulares
- 4 Filtración de Jantzen
- 5 Proyecto de tesis

El objetivo de nuestro proyecto es estudiar la forma bilineal  $\langle \cdot, \cdot \rangle_{n,v}^W$  correspondiente al módulo celular  $\Delta_w(v)$  de  $A_w$ , establecer una filtración de tipo Jantzen sobre  $\Delta_w(v)$  y obtener una fórmula de suma análoga a la de la filtración de Jantzen.

A modo de ejemplo, consideremos  $\underline{w} = ststs$  y  $v = s$ . Tenemos que  $n = \ell(w) = 5$ . El módulo celular en este caso está denotado por  $\Delta_{ststs}(s)$ , el cual tiene base dada por

$$\text{Tab}_{ststs}(s) = \left\{ \underbrace{\text{diagram 1}}_{b_1}, \underbrace{\text{diagram 2}}_{b_2}, \underbrace{\text{diagram 3}}_{b_3}, \underbrace{\text{diagram 4}}_{b_4}, \underbrace{\text{diagram 5}}_{b_5}, \underbrace{\text{diagram 6}}_{b_6} \right\}$$

Entonces, para estudiar la forma bilineal  $\langle \cdot, \cdot \rangle_{5,s}^{ststs}$  es suficiente con calcular las imágenes  $\langle b_i, b_j \rangle_{5,s}^{ststs}$ , para  $1 \leq i, j \leq 6$ .

¿Cómo calculamos  $\langle \cdot, \cdot \rangle_{5,s}^{ststs}$ ?

Por ejemplo, para calcular  $\langle b_1, b_3 \rangle_{5,s}^{ststs}$ , primero debemos desarrollar el producto  $\text{flip}(b_1) \cdot b_3$ :

$$\begin{aligned}
 \text{flip}(b_1) \cdot b_3 &= \text{Diagram 1} = \alpha_t \text{Diagram 2} \\
 &= \alpha_t \left( s(\alpha_t) \text{Diagram 3} + \partial_s(\alpha_t) \text{Diagram 4} \right) \\
 &= -2\alpha_t
 \end{aligned}$$

Diagram 1: A red vertical line from the bottom enters a red circle. Inside the circle, there are two blue vertical lines. The top of the circle is connected to a red line that loops back to the left and then down to the bottom of the circle.

Diagram 2: A red vertical line from the bottom enters a red circle. Inside the circle, there are two blue vertical lines. The top of the circle is connected to a red line that loops back to the right and then down to the bottom of the circle.

Diagram 3: A red vertical line from the bottom enters a red circle. The top of the circle is connected to a red line that loops back to the left and then down to the bottom of the circle.

Diagram 4: A red vertical line from the bottom enters a red circle. The top of the circle is connected to a red line that loops back to the right and then down to the bottom of the circle.



De manera análoga podemos hallar las otras imágenes. Así, se puede obtener la siguiente matriz asociada a  $\langle \cdot, \cdot \rangle_{5,s}^{ststs}$ , la cual denotaremos por  $M_{5,s}^{ststs}$ . En este caso:

$$M_{5,s}^{ststs} = \begin{pmatrix} 4 & -2 & -2\alpha_t & -2\alpha_t & \alpha_t & \alpha_t^2 \\ -2 & 4 & \alpha_t & \alpha_t & -2\alpha_t & \alpha_s\alpha_t \\ -2\alpha_t & \alpha_t & -2\alpha_s\alpha_t & \alpha_t^2 & \alpha_s\alpha_t & \alpha_s\alpha_t^2 \\ -2\alpha_t & \alpha_t & \alpha_t^2 & -2\alpha_s\alpha_t & \alpha_s\alpha_t & \alpha_s\alpha_t^2 \\ \alpha_t & -2\alpha_t & \alpha_s\alpha_t & \alpha_s\alpha_t & -2\alpha_s\alpha_t & \alpha_s^2\alpha_t \\ \alpha_t^2 & \alpha_s\alpha_t & \alpha_s\alpha_t^2 & \alpha_s\alpha_t^2 & \alpha_s^2\alpha_t & \alpha_s^2\alpha_t^2 \end{pmatrix}$$

En esta instancia resulta muy importante estudiar una posible diagonalización de  $M_{5,s}^{ststs}$ , debido a que esto nos entregaría información sobre los módulos de la filtración tipo Jantzen que se quiere construir sobre  $\Delta_{ststs}(S)$ .

**Problema:**  $R = \mathbb{C}[\alpha_s, \alpha_t]$  no es DIP.

**Solución:** Usamos los siguientes resultados y definiciones para trabajar en  $\mathbb{B}_{n-1}^{x,y}$  en lugar de  $A_w$ .

### Teorema

$$\mathbb{B}_{n-1}^{x,y} \cong A_w$$

### Definición

La función  $\psi : \Lambda_w \rightarrow \Lambda_{n-1}$  definida por

$$\psi(v) = \begin{cases} \ell(v) - 1 & \text{si } v \text{ comienza con } s \\ -\ell(v) & \text{si } v \text{ comienza con } t \end{cases} \quad (5.1)$$

es un isomorfismo.

### Teorema

Si  $\psi(v) = \lambda$ , entonces

$$\Delta_{n-1}^{\mathbb{B}}(\lambda) \cong \Delta_w(v).$$

Retomando nuestro ejemplo, como  $\psi(v) = \psi(s) = 0$ , entonces tenemos el isomorfismo de módulos celulares

$$\Delta_{ststs}(s) \cong \Delta_4^{\mathbb{B}}(0).$$

Este cambio de contexto favoreció mucho en los cálculos de la forma bilineal. De hecho, se logró concretizar la diagonalización de la matriz asociada a la forma bilineal  $\langle \cdot, \cdot \rangle_{n,\lambda}^{\mathbb{B}}$ . Este es uno de los resultados más importantes a lo largo de nuestro proyecto.

## Teorema

Sea  $M_{n,\lambda}^{\mathbb{B}}$  la matriz asociada a la forma bilineal  $\langle \cdot, \cdot \rangle_{n,\lambda}^{\mathbb{B}}$  del módulo celular  $\Delta_n^{\mathbb{B}}(\lambda)$ . Entonces

$$M_{n,\lambda}^{\mathbb{B}} = \begin{pmatrix} c_0(x, y)I_{d_0} & 0 & \cdots & 0 \\ 0 & c_1(x, y)I_{d_1} & \cdots & 0 \\ \vdots & \vdots & \ddots & \vdots \\ 0 & 0 & \cdots & c_k(x, y)I_{d_k} \end{pmatrix}$$

donde  $d_i = \dim \Delta^{\text{TL}n}(|\lambda| + 2i)$  e  $I_{d_i}$  es la matriz identidad de  $d_i \times d_i$ , mientras que los 0 representan matrices nulas de dimensión adecuada.

Sean

$$\alpha_{x,i} = ix + (i-1)y$$

$$\alpha_{y,i} = iy + (i-1)x$$

### Teorema

- Si  $\lambda \geq 0$  entonces

$$c_i(x, y) = (\alpha_{x,\lambda+2} \alpha_{x,\lambda+3} \cdots \alpha_{x,\lambda+i+1}) \alpha_{y,1} \alpha_{y,2} \cdots \alpha_{y,i}.$$

Si  $i = 0$  entonces  $c_i(x, y) = 1$ .

- Si  $\lambda < 0$  entonces

$$c_i(x, y) = (\alpha_{x,1} \alpha_{x,2} \cdots \alpha_{x,i+1}) \alpha_{y,1+|\lambda|} \alpha_{y,2+|\lambda|} \cdots \alpha_{y,i+|\lambda|}.$$

Si  $i = 0$  entonces  $c_i(x, y) = x$ .

Retomemos el ejemplo de antes:  $\Delta_4^{\mathbb{B}}(0)$ . Aquí,  $n = 4$  y  $\lambda = 0$ .

Entonces, para calcular la matriz  $M_{4,0}^{\mathbb{B}}$  asociada a  $\langle \cdot, \cdot \rangle_{4,0}^{\mathbb{B}}$  debemos calcular cada  $c_i(x, y)$ , y ver cuántas veces se repite en la diagonal.

Para  $i = 0$  tenemos  $c_0(x, y) = 1$ . Este valor aparece  $d_0 = \dim \Delta^{\text{TL}_4}(0)$  veces en  $M_{4,0}^{\mathbb{B}}$ . Como

$$\text{Tab}(0) = \left\langle \begin{array}{|c|c|} \hline \text{---} & \text{---} \\ \hline \text{---} & \text{---} \\ \hline \end{array}, \begin{array}{|c|} \hline \text{---} \\ \hline \text{---} \\ \hline \end{array} \right\rangle$$

entonces  $d_0 = 2$  (es decir, 1 aparece dos veces en la matriz).

Para  $i = 1$  tenemos  $c_1(x, y) = \alpha_{x,2}\alpha_{y,1}$ . Este valor aparece  $d_1 = \dim \Delta^{\text{TL}_4}(2)$  veces en  $M_{4,0}^{\mathbb{B}}$ . Como

$$\text{Tab}(2) = \left\langle \begin{array}{|c|c|c|c|} \hline \text{---} & \text{---} & \text{---} & \text{---} \\ \hline \text{---} & \text{---} & \text{---} & \text{---} \\ \hline \text{---} & \text{---} & \text{---} & \text{---} \\ \hline \text{---} & \text{---} & \text{---} & \text{---} \\ \hline \end{array}, \begin{array}{|c|c|c|c|} \hline \text{---} & \text{---} & \text{---} & \text{---} \\ \hline \text{---} & \text{---} & \text{---} & \text{---} \\ \hline \text{---} & \text{---} & \text{---} & \text{---} \\ \hline \text{---} & \text{---} & \text{---} & \text{---} \\ \hline \end{array}, \begin{array}{|c|c|c|c|} \hline \text{---} & \text{---} & \text{---} & \text{---} \\ \hline \text{---} & \text{---} & \text{---} & \text{---} \\ \hline \text{---} & \text{---} & \text{---} & \text{---} \\ \hline \text{---} & \text{---} & \text{---} & \text{---} \\ \hline \end{array} \right\rangle$$

entonces  $d_1 = 3$  (es decir,  $\alpha_{x,2}\alpha_{y,1}$  aparece tres veces en la matriz).

Para  $i = 2$  tenemos  $c_2(x, y) = \alpha_{x,2}\alpha_{x,3}\alpha_{y,1}\alpha_{y,2}$ . Este valor aparece  $d_2 = \dim \Delta^{\text{TL}_4}(4)$  veces en  $M_{4,0}^{\mathbb{B}}$ . Como

$$\text{Tab}(4) = \left\langle \begin{array}{|c|c|c|c|} \hline \square & \square & \square & \square \\ \hline \end{array} \right\rangle$$

entonces  $d_2 = 1$  (es decir,  $\alpha_{x,2}\alpha_{x,3}\alpha_{y,1}\alpha_{y,2}$  aparece una vez en la matriz).

Por lo tanto, obtenemos la diagonalización

$$M_{4,0}^{\mathbb{B}} = \begin{pmatrix} 1 & 0 & 0 & 0 & 0 & 0 & 0 \\ 0 & 1 & 0 & 0 & 0 & 0 & 0 \\ 0 & 0 & \alpha_{x,2}\alpha_{y,1} & 0 & 0 & 0 & 0 \\ 0 & 0 & 0 & \alpha_{x,2}\alpha_{y,1} & 0 & 0 & 0 \\ 0 & 0 & 0 & 0 & \alpha_{x,2}\alpha_{y,1} & 0 & 0 \\ 0 & 0 & 0 & 0 & 0 & \alpha_{x,2}\alpha_{y,1} & 0 \\ 0 & 0 & 0 & 0 & 0 & 0 & \alpha_{x,2}\alpha_{x,3}\alpha_{y,1}\alpha_{y,2} \end{pmatrix}$$

Para regresar de  $\Delta_4^{\mathbb{B}}(0)$  a  $\Delta_{ststs}(S)$  basta hacer la identificación  $x = \alpha_s$ ,  $y = \alpha_t$ , y gracias al isomorfismo entre estos dos módulos celulares obtenemos la misma matriz de la forma bilineal:

$$M_{5,s}^{ststs} = \begin{pmatrix} 1 & 0 & 0 & 0 & 0 & 0 & 0 \\ 0 & 1 & 0 & 0 & 0 & 0 & 0 \\ 0 & 0 & \alpha_{x,2}\alpha_{y,1} & 0 & 0 & 0 & 0 \\ 0 & 0 & 0 & \alpha_{x,2}\alpha_{y,1} & 0 & 0 & 0 \\ 0 & 0 & 0 & 0 & \alpha_{x,2}\alpha_{y,1} & 0 & 0 \\ 0 & 0 & 0 & 0 & 0 & \alpha_{x,2}\alpha_{y,1} & 0 \\ 0 & 0 & 0 & 0 & 0 & 0 & \alpha_{x,2}\alpha_{x,3}\alpha_{y,1}\alpha_{y,2} \end{pmatrix}$$

Ahora, con la intención de elaborar un análogo a la filtración de Jantzen, se define para una raíz  $\gamma$  de  $W$  el módulo

$$\Delta_w^{\gamma,i}(v) = \{a \in \Delta_w(v) \mid \langle a, \Delta_w(v) \rangle_{n,v}^w \subset \gamma^i R\}$$

Siguiendo con nuestro ejemplo, y recordando que la base de  $\Delta_{ststs}(S)$  estaba dada por los diagramas de

$$\text{Tab}_{ststs}(S) = \left\{ \underbrace{\text{diagram}_1}_{b_1}, \underbrace{\text{diagram}_2}_{b_2}, \underbrace{\text{diagram}_3}_{b_3}, \underbrace{\text{diagram}_4}_{b_4}, \underbrace{\text{diagram}_5}_{b_5}, \underbrace{\text{diagram}_6}_{b_6} \right\}$$

podemos obtener los siguientes módulos  $\Delta_w^{\gamma,i}(v)$ , considerando como raíz a  $\gamma = \alpha_{x,2}$ :

$$\Delta_{ststs}^{\gamma,0}(S) = \Delta_{ststs}(S)$$

$$\begin{aligned} \Delta_{ststs}^{\gamma,1}(S) &= \{a \in \Delta_{ststs}(S) \mid \langle a, \Delta_{ststs}(S) \rangle_{n,v}^w \subset \gamma R\} \\ &= \text{Span}_R \langle \gamma b'_1, \gamma b'_2, b'_3, b'_4, b'_5, b'_6 \rangle \end{aligned}$$

$$\begin{aligned} \Delta_{ststs}^{\gamma,k}(S) &= \{a \in \Delta_{ststs}(S) \mid \langle a, \Delta_{ststs}(S) \rangle_{n,v}^w \subset \gamma^2 R\} \\ &= \text{Span}_R \langle \gamma^k b'_1, \gamma^k b'_2, \gamma^{k-1} b'_3, \gamma^{k-1} b'_4, \gamma^{k-1} b'_5, \gamma^{k-1} b'_6 \rangle \text{ para } k > 1 \end{aligned}$$

Aquí, al aplicar una reducción módulo  $\gamma$ , obtenemos los siguientes módulos:

$$\begin{aligned} \overline{\Delta_{ststs}^{\gamma,0}(s)} &= \overline{\Delta_{ststs}(s)} \\ \overline{\Delta_{ststs}^{\gamma,1}(s)} &= \text{Span}_{\bar{R}}\langle \overline{b'_3}, \overline{b'_4}, \overline{b'_5}, \overline{b'_6} \rangle \\ \overline{\Delta_{ststs}^{\gamma,k}(s)} &= \bar{0} \text{ para } k > 1 \end{aligned}$$

Además,  $v_\gamma(\det(M_{5,s}^{ststs})) = v_\gamma(\alpha_{x,2}^4 \alpha_{x,3} \alpha_{y,1}^4 \alpha_{y,2}) = 4$ , por lo que

$$\sum_{i>0} \dim_{\bar{R}} \overline{\Delta_{ststs}^{\gamma,i}(s)} = \dim_{\bar{R}} \overline{\Delta_{ststs}^{\gamma,1}(s)} = 4 = v_\gamma(\det(M_{5,s}^{ststs})).$$

**MUCHAS GRACIAS**